

УДК 004.056.55

АНАЛИЗ ШИФРА «КУЗНЕЧИК» МЕТОДОМ СВЯЗАННЫХ КЛЮЧЕЙ

Ищукова Е.А., Красовский А.В., Половко И.Ю.

Южный федеральный университет, Институт компьютерных технологий и информационной безопасности, Таганрог, e-mail: an.krasowsckij@gmail.com

Объектом исследования является блочный симметричный шифр «Кузнецик», который является национальным стандартом РФ в области шифрования. Средством исследования является метод связанных ключей, который позволяет оценить надёжность и криптостойкость данного шифра. Результатом работы являются обнаруженные способы применения метода связанных ключей к шифру «Кузнецик», систематизированные дифференциальные свойства блоков шифра, созданные алгоритмы определения значений подключей, а также логические заключения о структурировании и классификации подходов к анализу шифра «Кузнецик» с помощью метода связанных ключей. Для проведения тестирования и определения временной сложности был реализован шифр на языках программирования C и на Python. Результаты показали, что к алгоритму «Кузнецик» применим метод анализа связанных ключей, при условии что в используемые roundовые подключи внесено нарушение по определенному принципу. Также показано, что при использовании классической реализации, определенной в стандарте ГОСТ Р 34.12 – 2015, шифр «Кузнецик» остается устойчивым к атакам на основе связанных ключей. Проведенные теоретические расчеты подтверждаются экспериментальными данными, полученными с использованием разработанных и реализованных алгоритмов анализа на основе метода связанный ключей.

Ключевые слова: анализ, связанные ключи, дифференцирование, «Кузнецик», ГОСТ Р34.12-2015

ANALYSIS OF THE CIPHER KUZNECHIK BY THE RELATED KEYS METHOD

Ischukova E.A., Krasovskiy A.V., Polovko I.Yu.

Southern Federal University, Institute of Computer Technologies and Information Security, Taganrog, e-mail: an.krasowsckij@gmail.com

The subject of research is a block symmetric cipher Kuznechik, which is the national standard of the Russian Federation in encryption. The means of investigation is the method of related keys, which makes it possible to evaluate the reliability and cryptographic strength of this cipher. The results of the work are the discovered ways to apply the method of related keys to the Kuznechik, the differential cryptanalysis's properties of the cipher blocks, the algorithms for determining the values of the subkeys, as well as logical conclusions about structuring and classification approaches to the analysis of the cipher Kuznechik using the related key method. To conduct testing and determine the time complexity, a cipher in C and Python was implemented. The results showed that the Kuznyechik algorithm is applicable to the related keys method, provided that the violation is applied to the used round plug-ins according to a certain principle. It is also shown that when using the classical implementation defined in the standard GOST R 34.12 – 2015, the Kuznyechik cipher remains resistant to attacks based on related keys. The carried out theoretical calculations are confirmed by experimental data obtained using developed and implemented analysis algorithms based on the related key method.

Keywords: analysis, related keys, differentiation, Kuznyechik, GOST R34.12-2015

Анализ криптографических алгоритмов представляет собой актуальную и востребованную научную работу. Существует множество способов анализа шифров, и одним из них является метод связанных ключей [1]. Метод связанных ключей (МСК) оценивается как эффективный криптографический подход к анализу. В настоящий момент МСК уже успешно опробован на мировых и национальных стандартах шифрования [2–4], но остается только теоретической атакой с высоким уровнем допущений относительно знаний аналитика.

Разработчики современных шифров создают сложные процедуры генерации подключей и учитывают МСК. Также они стремятся разрабатывать шифры, которые будут оптимально реализованы на конкретных вычислительных устройствах. Такой двойственный учёт теоретической и прак-

тической стороны оправдан и предоставляет высокую степень криптостойкости, но не разрешает все потенциальные проблемы.

По мнению авторов данной статьи, одной из таких проблем может быть использование основ МСК во взаимосвязи с иными видами атак и анализа. Проблема актуальна и для шифра «Кузнецик». Данный алгоритм является современным национальным стандартом РФ в области шифрования. Определение криптостойкости шифра «Кузнецик» является важным процессом, так как стойкость – это основополагающий фактор при выборе алгоритмов шифрования в рамках комплекса мер обеспечения информационной безопасности.

В связи с положениями, описанными выше, было проведено исследование «Кузнецика» с целью определения стойкости шифра относительно МСК с выделением и изучением уникальных свойств и осо-

бенностей алгоритма (вырабатывая другие подходы к анализу). В исследовании уровень знания аналитика повышался по необходимости.

Достижением данной работы является выявление параметров восстановления ключа для большего количества раундов (максимально 5 и 6) по сравнению с другими работами в данной тематике [5, 6].

В работе определяется и описывается структура шифра, определяются все необходимые для достижения цели свойства шифра. Далее определяются алгоритмы восстановления промежуточных значений процессов шифрования/десифрования и описывается алгоритм восстановления ключа.

Структура шифра «Кузнецик»

ГОСТ 34.12-2015 [7] «Кузнецик» является блочным симметричным шифром. Он реализован в соответствии с SP сетью, где процесс десифрования обратен шифрованию. Вход/выход и промежуточные значения имеют размерность 128 бит, ключ имеет размерность 256 бит. Всего «Кузнецик» состоит из 10 блоков: S и \bar{S} , p и \bar{p} , L и \bar{L} , R и \bar{R} , X и \bar{L} . Где блок X представляет из себя блок

побитового сложения двух входных значений по модулю два.

Блоки замены байта p и \bar{p} применяются в рамках блоков S и \bar{S} соответственно и имеют размерность 8 бит. «Кузнецик» имеет предустановленные таблицы замены, которые можно считать массивами с индексами. Выходом блоков p и \bar{p} является значение, взятое в таблице замены по индексу равному значению входа.

Блоки замены S и \bar{S} имеют входную/выходную размерность 128 бит. Входное битовое слово разделяется по 8 бит последовательно непрерывно. Каждый полученный байт заменяется с помощью p и \bar{p} блока. Значения после p и \bar{p} блоков организуют выходное слово в соответствии с входным порядком битов. Обозначим логическое разбиение 128-битного текста на 16 байт как $a = a_{15} \parallel a_{14} \parallel \dots \parallel a_0$, $a \in V_{128}$. Схематичное представление блоков S и \bar{S} приведено на рис. 1.

Блок l имеет размерность входа/выхода 128/8 бит соответственно. Выход генерируется в соответствии с уравнением $l(a)$. Умножение и сложение происходят в поле $GF(2)[x]/p(x)$, где $p(x) = x^8 + x^7 + x^6 + x + 1$.

$$\begin{aligned} l(a) = & 145 * a_{15} + 32 * a_{14} + 133 * a_{13} + 16 * a_{12} + 194 * a_{11} + \\ & + 192 * a_{10} + 1 * a_9 + 251 * a_8 + 1 * a_7 + 192 * a_6 + 194 * a_5 + \\ & + 16 * a_4 + 133 * a_3 + 32 * a_2 + 148 * a_1 + 1 * a_0. \end{aligned}$$

Блоки R и \bar{R} имеют размерность входа/выхода 128 бит. Они используют блок l для вычисления нового старшего байта.

$$\begin{aligned} R(a_{\text{вход}}) &= l(a_{\text{вход}}^{15} \parallel a_{\text{вход}}^{14} \parallel \dots \parallel a_{\text{вход}}^0) \parallel a_{\text{вход}}^{15} \parallel a_{\text{вход}}^{14} \parallel \dots \parallel a_{\text{вход}}^1 \\ \bar{R}(a_{\text{вход}}) &= a_{\text{вход}}^{14} \parallel a_{\text{вход}}^{13} \parallel \dots \parallel l(a_{\text{вход}}^{14} \parallel a_{\text{вход}}^{13} \parallel \dots \parallel a_{\text{вход}}^1 \parallel a_{\text{вход}}^{15}) \end{aligned}$$

Блоки L и \bar{L} имеют размерность входа/выхода 128 бит. Они используют R и \bar{R} соответственно последовательно 16 раз.

$$\begin{aligned} L(a_{\text{вход}}) &= R^{16}(a_{\text{вход}}) \\ \bar{L}(a_{\text{вход}}) &= \bar{R}^{16}(a_{\text{вход}}) \end{aligned}$$

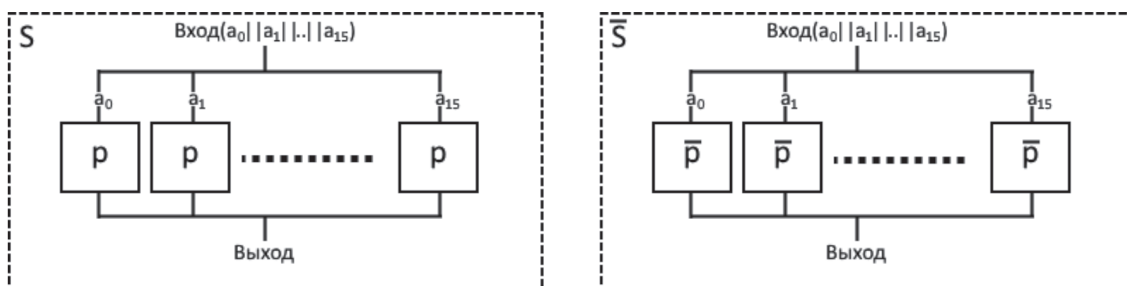


Рис. 1. Схематичное представление блоков S и \bar{S} , где показан процесс преобразования входного значения $a = a_{15} \parallel a_{14} \parallel \dots \parallel a_0$

Процессы шифрования и дешифрования отображаются формулами (1, 2) соответственно. Обозначим $C \in V_{128}$ как закрытый текст и $P \in V_{128}$ как открытый текст.

$$C = X(K_{10})LSX(K_9)\dots LSX(K_1)(P), \quad (1)$$

$$P = X(K_1)S'L'X(K_2)\dots S'L'X(K_{10})(C). \quad (2)$$

Ключ шифра имеет размерность 256 бит, а подключ 128 бит. Генерируется 10 подключей для 9 раундов и заключающего X блока. Для выработки подключей используется 32 постоянных продекларированных в стандарте значений C_i . Обозначим старшие 128 бит ключа шифрования как K_1 , а младшие K_2 .

$$C_i := L(i), i = 1, 2, \dots, 32,$$

$$F[C_n](K_{i-1}, K_i) = (LSX(C_n)(K_{i-1}) \oplus K_i, K_{i-1}),$$

$$(K_{2i+1}, K_{2i+2}) = F[C_{8(i-1)+8}]\dots F[C_{8(i-1)+1}](K_{2i-1}, K_{2i}), i = 1, \dots, 4.$$

Свойства шифра «Кузнецик»

При исследовании структуры шифра на наличие возможных способов применения МСК было установлено, что необходимо анализировать промежуточные дифференциалы процессов шифрования/дешифрования. Промежуточное значение (ПЗ) – это 128-битное слово, которое является результатом вычисления предыдущего блока и входом последующего.

В данном разделе рассматриваются необходимые для МСК дифференциальные свойства (ДС). Дифференциальными свойствами обладает как шифр в общем, так и в частности блоки и их объединения. Шифр имеет 5 основных общих блоков S и \bar{S} , L и \bar{L} , X и, следовательно, далее рассматривается их ДС.

Блок X представляет из себя простой и понятный элемент шифра. Он обладает известной структурой, и его свойства соответствуют ДС побитового сложения по модулю два.

Блоки L и \bar{L} , при рассмотрении с позиции ДС, обладают свойством дистрибутивности. Обозначим значения $a, b \in V_{128}$ как входные значения двух процессов преобразования с помощью L и \bar{L} . Схематично данное ДС изображено на рис. 2.

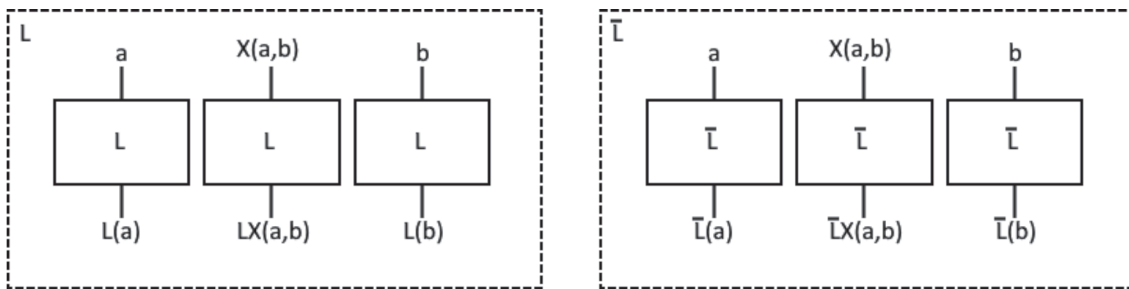


Рис. 2. Схематичное представление ДС блоков L и \bar{L} , где $X(a, b)$ является дифференциалом входных значений

$$L(a \oplus b) = L(a) \oplus L(b)$$

$$L'(a \oplus b) = L'(a) \oplus L'(b)$$

Блоки S и \bar{S} обладают ДС блоков p и \bar{p} . При изучении ДС блоков p и \bar{p} было выявлено, что разные дифференциалы входов образуют неодинаковое количество неповторимых выходных дифференциалов. Данное ДС для уникальности обозначим как свойство неравномерности распределения (СНР). Далее рассматривается СНР p блока.

| a/b | .0 | .1 | .2 | .3 | .4 | .5 | .6 | .7 | .8 | .9 | .A | .B | .C | .D | .E | .F |
|-----|-----|-----|-----|-----|-----|-----|-----|-----|-----|-----|-----|-----|-----|-----|-----|-----|
| 0. | 1 | 108 | 102 | 109 | 109 | 107 | 100 | 107 | 107 | 106 | 105 | 110 | 109 | 105 | 111 | 104 |
| 1. | 110 | 110 | 105 | 108 | 106 | 107 | 106 | 102 | 110 | 110 | 107 | 104 | 113 | 105 | 109 | 109 |
| 2. | 102 | 102 | 110 | 106 | 108 | 105 | 98 | 105 | 111 | 107 | 105 | 108 | 109 | 102 | 104 | 106 |
| 3. | 112 | 113 | 109 | 100 | 114 | 113 | 110 | 103 | 111 | 107 | 108 | 107 | 108 | 107 | 107 | 108 |
| 4. | 105 | 107 | 107 | 106 | 106 | 109 | 110 | 104 | 108 | 103 | 106 | 111 | 104 | 109 | 111 | 105 |
| 5. | 106 | 110 | 108 | 108 | 104 | 107 | 103 | 106 | 114 | 110 | 104 | 108 | 104 | 112 | 104 | 109 |
| 6. | 110 | 107 | 111 | 103 | 105 | 104 | 108 | 114 | 109 | 110 | 103 | 106 | 106 | 107 | 107 | 108 |
| 7. | 110 | 106 | 105 | 101 | 108 | 104 | 107 | 108 | 104 | 112 | 109 | 107 | 107 | 104 | 107 | 106 |
| 8. | 103 | 110 | 104 | 108 | 114 | 102 | 103 | 107 | 106 | 107 | 105 | 107 | 110 | 100 | 110 | 102 |
| 9. | 104 | 108 | 105 | 108 | 110 | 105 | 107 | 113 | 101 | 107 | 109 | 113 | 107 | 105 | 100 | 106 |
| A. | 113 | 105 | 109 | 111 | 109 | 101 | 102 | 107 | 110 | 100 | 106 | 110 | 107 | 103 | 105 | 106 |
| B. | 110 | 103 | 105 | 106 | 104 | 101 | 110 | 110 | 112 | 110 | 113 | 105 | 111 | 108 | 105 | |
| C. | 111 | 106 | 111 | 105 | 107 | 109 | 99 | 104 | 103 | 105 | 106 | 111 | 109 | 103 | 106 | 108 |
| D. | 109 | 106 | 113 | 102 | 103 | 112 | 108 | 104 | 105 | 111 | 106 | 106 | 105 | 105 | 111 | 105 |
| E. | 105 | 112 | 107 | 105 | 104 | 109 | 106 | 109 | 102 | 107 | 109 | 107 | 109 | 106 | 103 | 104 |
| F. | 106 | 111 | 108 | 112 | 106 | 107 | 114 | 107 | 113 | 112 | 112 | 113 | 103 | 108 | 109 | 112 |

Рис. 3. СНП р блока с таблицей замены соответствующей стандарту, где минимальные возможные и невозможные повторения выходного дифференциала обозначаются цветом

СНП был практически подсчитан и представлен на рис. 3, где $a, b \in V_4$ – это левая и правая часть входного дифференциала соответственно. На данном рисунке значение, соответствующее входному дифференциальному, обозначает количество уникальных выходных дифференциалов, полученных из входного.

Как видно выше, минимальное значение повторений 98, а максимальное 114. Выходные дифференциалы входного дифференциала равного 0 являются уникальными. Выходные дифференциалы d_i от входного 0x26 образуются в соответствии с формулой

$$d_i = p(i) \oplus p(i \oplus 0x26), i = 0, 1, \dots, 255. \quad (3)$$

Другим свойством p и p' блоков является неравномерность распределения повторений (СНП). СНП заключается в неравномерности повторений выходных дифференциалов. СНП следует из СНР. Так, известно, что для любого входного дифференциала существует 256 выходных дифференциалов. Если обратить внимание на рис. 3, то становится очевидно, что какие-то уникальные выходные дифференциалы должны повторяться.

Пусть $d_i^{\text{вх}}$ входной дифференциал р блока, а $[d_i^{\text{вх}}]$ список выходных дифференциалов полученных от $d_i^{\text{вх}}$ по формуле (3). Обозначим $[[d_i^{\text{вх}}]]$ как список уникальных значений в списке $[d_i^{\text{вх}}]$. В таком случае СНП можно определить как распределение повторений значений из списка $[[d_i^{\text{вх}}]]$ в списке $[d_i^{\text{вх}}]$.

В основном СНП полезен для МСК из-за количества повторений в 2 раза. Это наиболее распространённое повторение, так как здесь используются дифференциалы.

Алгоритм восстановления промежуточных значений

Для восстановления ключа шифрования/дешифрования требуется не дифференциал ПЗ, а его значение. Для получения значения ПЗ из его дифференциала был разработан алгоритм восстановления значений ПЗ (АВЗ).

АВЗ основан на СНП блока p , так как он может быть использован при шифровании и дешифровании и позволяет стандартизировать подход к анализу. СНП заключается в p блоке, а данный блок используется в S блоке. Таким образом, АВЗ позволяет восстанавливать значение на входе и выходе S блока. Для применения АВЗ необходим известный дифференциал ПЗ на входе и выходе, разбитые последовательно и непрерывно на байты. Обозначим данные дифференциалы на входе и выходе как $D^{\text{вх}}$ и $D^{\text{вых}}$ соответственно, а их байт как $d_i^{\text{вх}}$ и $d_i^{\text{вых}}$. Далее следует распределить разбитые байты в соответствии с формулой

$$(d_0^{\text{вх}}, d_0^{\text{вых}}), (d_1^{\text{вх}}, d_1^{\text{вых}}), \dots, (d_{15}^{\text{вх}}, d_{15}^{\text{вых}}). \quad (4)$$

Все полученные пары необходимо соотнести с СНП p блока и получить потенциальные значения пар входов и выходов. Далее следует собрать все пары на входе/выходе и соотнести их соответственно с входом/выходом. В заключение следует ском-

бинировать все возможные пары значений ПЗ, которые образуют $D^{\text{bx}} / D^{\text{vbx}}$. Выявлено, что минимально возможно восстановить 2^{16} пар значений ПЗ при использовании АВЗ, а максимально 2^{48} .

Алгоритм восстановления ключа

При восстановлении ключей с помощью МСК было установлено, что шифр «Кузнецик» можно представить как криптографический алгоритм с уменьшенным количеством раундов и с нарушенным принципом генерации подключей. Распределим изучаемые представления:

1. Шифр с количеством раундов < 9 , выработка подключей нарушено – K_1 .
2. Шифр с количеством раундов 10, выработка подключей нарушена – K_2 .
3. Шифр с количеством раундов < 9 , стандартная выработка подключей – K_3 .
4. Шифр с количеством раундов 10, стандартная выработка подключей – K_4 .

Для всех K_i , $i = 1, 2, 3, 4$ применяется один и тот же алгоритм. Его реализация требует минимум три процесса дешифрования, где подключи взаимосвязаны. Открытый и закрытый текст известны аналитику. Взаимосвязь подключей известна для пар процессов дешифрования, как отображено на рис. 4.

Восстановление ключа совершается в два этапа. На первом этапе в соответствии с рис. 4 используется пара $(i, i+1)$ процессов дешифрования, а на втором $(i, i+2)$.

Для первого этапа взаимосвязь подключей должна иметь вид, который позволяет восстановить дифференциал ПЗ на входе и выходе последнего S блока. Это предста-

вляет условия для применения АВЗ и восстановления возможных первых подключей.

Для второго этапа взаимосвязь подключей должна иметь вид, который позволяет восстановить дифференциал ПЗ на входе и выходе предпоследнего S блока. Учитывая знание первого подключа для i -го процесса дешифрования, можно применить АВЗ и восстановить возможные вторые подключи. После восстановления для i -го процесса дешифрования списка возможных первых и вторых подключей, следует их скомбинировать попарно и проверить.

Изучая все представления шифра «Кузнецик» K_i , $i = 1, 2, 3, 4$, было выявлено, что K_1 и K_2 идентичны. Для представления K_3 были найдены способы применения алгоритма восстановления ключа для пяти и шести подключей с разной сложностью. Представление K_4 оказалось абсолютно стойким для МСК в виде, представленном в данной работе. Известно, что K_4 соответствует реализации шифра «Кузнецик» по стандарту ГОСТ Р 34.12 – 2015.

Временная сложность и количество восстановленных мастер-ключей разных представлений отображены в таблице. В таблице используются следующие обозначения и сокращения: Мин/Среднее/Макс – это минимальное/среднее/максимальное значение, c – количество восстановленных мастер-ключей, символ « \leftarrow » обозначает неопределенность, t – это количество затрачиваемого времени для вычисления соответствующего количества восстановленных мастер-ключей. Использовался ноутбук HP Pavilion G6, с процессором AMD A10-4600M APU 2.30 GHz, ОЗУ 8 ГБ и Windows 10x64.

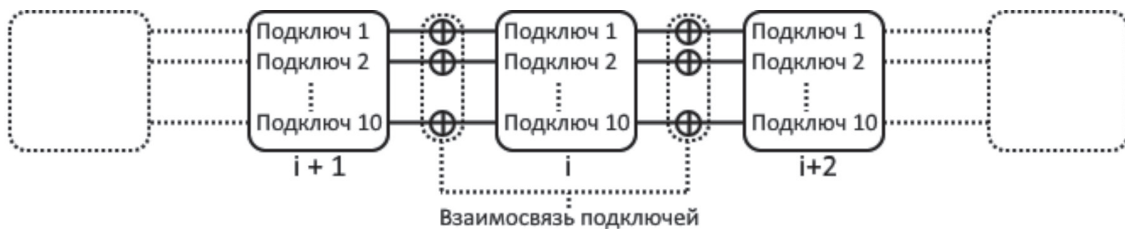


Рис. 4. Схематичное представление взаимосвязи подключей процессов дешифрования, где каждый процесс дешифрования представлен прямоугольным блоком

Вычислительная и временная сложность восстановления ключа

| Представление | Мин. с | Макс. с | Среднее с | Мин. т | Среднее т |
|---------------|----------|--------------|-----------|--------|--------------|
| K_1 и K_2 | 2^{16} | 2^{96} | 2^{24} | 16 с. | 2 ч. 11 мин. |
| $K_3, 5$ | 2^{16} | $103*2^{96}$ | 2^{25} | 16 с. | 1 ч. 33 мин. |
| $K_3, 6$ | 2^{16} | 2^{222} | – | 16 с. | – |

Результатом работы являются обнаруженные способы применения метода связанных ключей к «Кузнецiku», систематизированные дифференциальные свойства блоков шифра, созданные алгоритмы определения значений подключей, а также логические заключения о структурировании и классификации подходов к анализу шифра «Кузнецик» с помощью метода связанных ключей.

Список литературы

1. Eli Biham, Orr Dunkelman, Nathan Keller. A Simple Related-Key Attack on the Full SHACAL-1 [Электронный ресурс]. – URL: <http://u.math.biu.ac.il/~nkeller/article-842.pdf> (дата обращения: 17.04.2018).
2. Vladimir Rudskoy. On zero practical significance of «Key recovery attack on full GOST block cipher with zero time
- and memory» [Электронный ресурс]. – URL: <https://eprint.iacr.org/2010/111.pdf> (дата обращения: 17.04.2018).
3. Biryukov A., Khovratovich D. Related-key Cryptanalysis of the Full AES-192 and AES-256 [Электронный ресурс]. – URL: <http://eprint.iacr.org/2009/317.pdf> (дата обращения: 17.04.2018).
4. Пудовкина М.А., Хоруженко Г.И. Атака на шифрсистему ГОСТ 28147-89 с 12 связанными ключами [Электронный ресурс]. – URL: <http://kaf42.mephi.ru/wp-content/uploads/2015/12/mvk88.pdf> (дата обращения: 17.04.2018).
5. Ищукова Е.А., Красовский А.В., Бабенко Л.К. Оценка стойкости шифра «Кузнецик» с использованием метода связанных ключей // Фундаментальные исследования. – 2016. – № 11–4. – С. 698–703.
6. Ищукова Е.А., Красовский А.В. Возможность применения метода связанных ключей к анализу алгоритма «Кузнецик» // Вестник научных конференций. – 2016. – № 11–6(15). – С. 103–104.
7. ГОСТ 34.12.-2015 «Кузнецик» [Электронный ресурс]. – URL: http://wwwold.tc26.ru/standard/gost/GOST_R_3412-2015.pdf (дата обращения: 17.04.2018).